

## ارزیابی خطرپذیری فرونشست شهرستان لردگان با استفاده از روش تداخل سنگی راداری

فرید امیری - دانشجوی کارشناسی ارشد عمران-زلزله، دانشکده مهندسی عمران، دانشگاه آزاد اسلامی، شهرکرد، ایران.  
محمد مومنی - استادیار، دانشکده مهندسی عمران، واحد شهرکرد، دانشگاه آزاد اسلامی، شهرکرد، ایران.  
سهراب میرانی \* - استادیار، دانشکده مهندسی عمران، واحد شهرکرد، دانشگاه آزاد اسلامی، شهرکرد، ایران.

پذیرش مقاله: ۱۴۰۲/۰۶/۲۱ تایید نهایی: ۱۴۰۲/۰۱/۱۵

### چکیده

مخاطره فرونشست می‌تواند عاملی در ایجاد تشدید آسیب‌پذیری کانون فعالیت‌های انسانی واقع در بسترها به بازگشتن مخاطره‌آمیز طبیعی همچون زلزله باشد. این پدیده در سال‌های اخیر آسیب‌های فراوان به دشت‌ها و شهرهای کشور و بخصوص به ساختمان‌های مسکونی، دشت‌ها و زمین‌های کشاورزی واقع در استان چهارمحال و بختیاری وارد نموده است. لذا پیش‌نمیزان فرونشست و پرداختن به علل تأثیرگذار آن در راستای کنترل و مدیریت خطرپذیری آن، از اهمیت ویژه‌ای برخوردار است. تاکنون روش‌های متنوعی همچون استفاده از جی‌پی‌اس، ترازیابی ابزار دقیق و روش تداخل سنگی راداری برای اندازه‌گیری فرونشست زمین استفاده شده است. در این میان، روش تداخل سنگی راداری، تکنیکی بهروز و مؤثر برای اندازه‌گیری تغییرات سطح زمین در سطح دنیا است. این روش با مقایسه فازهای دو تصویر راداری، قادر به تعیین تغییرات سطح زمین در بازه‌های مختلف زمانی می‌باشد. در این مقاله، برای سنجش خطرپذیری فرونشست دشت لردگان و سکونتگاه‌های شهری از داده‌های ماهواره‌ای و به کمک تکنیک تداخل سنگی راداری استفاده شده است. بدین منظور میزان فرونشست در یک دوره زمانی ۶ ساله (از ۲۰۱۷ تا ۲۰۲۳) با استفاده از داده‌های سنتینل A1 در محیط نرم‌افزار SNAP ارزیابی شده است. نتایج مشاهدات صحرایی و ارزیابی‌های انجام شده حاکی از آن است که رخداد فرونشست و به تناسب افت سطح آب در اثر استخراج بیش از حد آب‌های زیرزمینی بوده است. داده‌های به دست آمده از چاه‌های پیزومتری شهرستان لردگان و چشممه برم نشان از افت شدید سطح آب زیرزمینی از سال ۸۶ به بعد می‌باشد این میزان افت آب در بعضی مناطق تا ۱۵ متر مشاهده شده است. نتایج حاصله از داده‌های راداری نشان داد در طی یک دوره ۶ ساله شهرستان لردگان میزان نشستی در حدود ۱۴ تا ۱۸ سانتی متر را تجربه نموده است این مقادیر نشست به تناسب سالانه حدود ۳ سانتی متر می‌باشد که در حد هشدار و فراتر از حالت نرمال است. با توجه به نرخ قابل توجه مخاطره فرونشست و آسیب‌هایی که این پدیده ممکن است ایجاد نماید، مدیریت صحیح برداشت آب زیرزمینی امری ضروری به نظر می‌رسد. فاجعه‌بارترین وضعیت محتمل برای این منطقه، همزمانی سانحه نشست زمین با زمین‌لرزه است. چنین فاجعه‌ای به دلیل قرار گرفتن در گسل فعال زاگرس که هر ساله شاهد آزاد شدن انرژی و تحرکات این گسل فعال می‌باشیم دور از انتظار نیست.

واژگان کلیدی: فرونشست، لردگان، تداخل سنگی راداری، چشممه برم، افت آب.

## مقدمه

طبق تعریف سازمان زمین شناسی ایالت آمریکا<sup>۱</sup>، پدیده فرونشست زمین شامل فروریزش یا نشست تدریجی روبه پایین سطح زمین است که می‌تواند به هر دو علت طبیعی یا در اثر فعالیت بشر (مصنوعی) ایجاد می‌شود. فرونشست زمین یک پدیده زمین‌شناسی است که موجب پایین رفتن آرام سطح زمین می‌شود (هو و همکاران، ۲۰۰۹). در دهه‌های اخیر حالت تصاعدی این پدیده همراه با اوج صنعتی شدن، شهرنشینی شدن و پمپاژ بی‌رویه از آبهای زیرزمینی جهت مصارف کشاورزی مشاهده شده است. برداشت بی‌رویه از منابع زیرزمینی یکی از مهم‌ترین عوامل ایجاد پدیده فرونشست سطح زمین می‌باشد زمانی که آب، گاز یا نفت از لایه‌های پایینی برداشت می‌شوند سبب تقلیل فشار در لایه‌های زیرین و به تناسب فشار سربار ناشی از لایه‌های موجب کاهش حجم در لایه‌های پایینی و نشست و سیع در سطح زمین می‌گردد. افزایش روزافزون بهره‌برداری از آبهای زیرزمینی بهویژه در حوضه‌هایی که با نهشته‌های آبرفتی، دریاچی کم‌زرفا یا دریاچه‌ای تحکیم نیافته انباشته شده‌اند، در مناطق مختلفی از کشور ایران، مانند فارس، مشهد، نیشابور، کرمان و کا شمر موجب فروزش سنت زمین شده است. (آمیغ پی و همکاران، ۲۰۰۸)، (رهنمای و میراثی، ۲۰۱۶)، (میراثی و رهنما، ۱۴۰۰)، (رهنمای و میراثی، ۲۰۱۴).

پدیده فرونشست به علل گوناگونی از جمله عوامل طبیعی مانند زلزله، آتش‌فشن، فعالیت‌های گسلی، فرونشست ناشی از بالا آمدن سطح دریا، انحلال در سنگ، اکساپیش، فشردگی رسوبات آلی، توسعه‌ی چاه در زمین‌های کارستی، یا ناشی از فعالیت‌های انسانی، شامل برداشت بی‌رویه‌ی سیالات از زمین نظیر آب، نفت و گاز روی می‌دهد فروزش سنت منطقه‌ای زمین به دلیل افت سطح آب زیرزمینی عمده‌ای در رسوبات تحکیم نیافته یا نیمه تحکیم یافته که در مجاورت لایه‌های شن و ماسه قرار دارد صورت می‌گیرد. به عبارتی افت سطح ایستایی باعث کاهش فشار آب منفذی و افزایش تنش مؤثر وارد بر رسوبات آبخوان می‌شود (صالحی و همکاران، ۲۰۱۳).

فرونشست یکی از بلایای طبیعی می‌باشد که خسارات زیادی به زندگی انسان و اکوسیستم‌های طبیعی وارد می‌آورد و با دیگر حوادث طبیعی از قبیل سیل، طوفان و زلزله تفاوت‌هایی دارد. عمدت این تفاوت‌ها در تأثیر تدریجی آن طی یک دوره نسبتاً طولانی، عدم امکان تعیین دقیق زمان شروع و خاتمه و وسعت جغرافیایی تأثیر آن می‌باشد. در سال‌های گذشته فرونشست و افت سطح آب زیرزمینی در اغلب دشت‌های ایران سبب بروز مشکلات و معضلات فراوان به زمین‌های کشاورزی، ساختمان‌های مسکونی، جاده‌ها، خطوط انتقال نیرو و دیگر سازندها شده است همچنین باعث تغییر کیفیت آب زیرزمینی، پیشروی جهه آب شور، تهی شدن سفره‌های آب زیرزمینی، آسیب‌های زیست محیطی، اقتصادی و اجتماعی شده است. البته فرونشست زمین اضافه بر خسارت‌های غیرقابل جبران زیست محیطی، زمینه ساز ناپایداری سازه‌ها و بنها شده و می‌تواند نرخ خسارت‌های مالی و جانی پدیده‌هایی مثل زلزله را به طرز وحشتناکی افزایش دهد. این پدیده می‌تواند به خیابان‌ها، پل‌ها و بزرگراه‌ها آسیب وارد آورده، خطوط آبرسانی، گاز و فاضلاب را مختل کرده، به پی ساختمان‌ها آسیب رسانده و موجب ترک خودگی در آنها شود. در این حالت سازه‌هایی که پی گستردگر و ارتفاع بیشتری دارند آسیب‌پذیرند. خطوط راه‌آهن، سدهای خاکی، تصفیه‌خانه‌ها و کانال‌ها از آسیب‌پذیری بیشتری برخوردارند. (میراثی و رهنما، ۱۴۰۲)، (میراثی و رهنما، ۱۳۹۵).

## پیشینه تحقیق

در مقیاس جهانی، بحران افت سطح آب و خسارت‌های ناشی از آن در بین سال‌های ۱۹۵۰-۱۹۷۰ که همزمان با صنعتی شدن و رشد شهرنشینی بود به اوج خود رسید. از نمونه‌های پدیده فرونشست در نقاط مختلف جهان می‌توان

<sup>1</sup>. American Geological Institute

<sup>2</sup>. Hu et al

<sup>3</sup>. M. Amighpey et al

به نشست زمین به دلیل پمپاژ آب در ۳۵ سال گذشته در شهر بانکوک در تایلند اشاره نمود با حداکثر نشست سالانه ۱۲۰ میلی‌متر که در اوایل دهه ۱۹۸۰ گزارش گردیده است (فین-وح و همکاران<sup>۱</sup>، ۲۰۰۶). از نمونه‌های دیگر می‌توان به نشست دشت ساحلی تسالونیکی (شمال یونان) به میزان حدود ۱۰ سانتی‌متر در سال، اشاره نمود (لارسن و همکاران<sup>۲</sup>، ۲۰۰۱). این پدیده در نقاط مختلفی از جهان مانند شهر ونیز ایتالیا در فاصله سال‌های ۱۹۳۰ تا ۱۹۷۳ با نشستی حدود ۱۵ سانتی‌متر (گمبولاتی و همکاران<sup>۳</sup>، ۱۹۷۴)، مکزیکوسیتی، تایلند، ژاپن و آمریکا گزارش شده است همچنان که این پدیده در بیش از ۱۵۰ شهر جهان گزارش شده است (هو و همکاران<sup>۴</sup>، ۲۰۰۴). در بخش‌های از شهر قاهره در مصر به علت رخداد شکاف‌ها در اکثر ساختمان‌ها و همچنین نشستهای موضعی از روش‌های ژئوالکتریک و انکسار امواج لرزه‌ای جهت شناسایی لایه‌های خاک و موقعیت گسل و ناهنجاری‌های زیرسطحی استفاده شده است؛ که مشخص شده عمدۀ دلایل آسیب‌های واردۀ ناشی از وجود خاک رس مارنی اشباع و وجود گسل در لایه‌ای زیر ساختمان‌های اجراشده بوده است (آرافا و همکاران<sup>۵</sup>، ۲۰۱۴). یکی از مهم‌ترین خسارت‌ها و افت سطح آب در جهان در اثر بهره‌برداری بی‌رویه از آب‌های زیرزمینی جهت مصارف کشاورزی در ایالت کالیفرنیا در آمریکا گزارش شده است تا سال ۱۹۶۹ مقدار نشست در این ایالت ۸ متر گزارش گردید (بولند و همکاران<sup>۶</sup>، ۱۹۸۱). بیش از ۸۰ درصد فرونشستهای شناسایی شده در ایلات متحده نا شی از تأثیر ادسان روی آب‌های زیر سطحی، که اغلب به دلیل نادیده گرفتن عواقب زیست محیطی ناشی از استفاده نادرست از آب و زمین می‌باشد. در ایلات متحده، بیش از ۱۷۰۰۰ مایل مربع در ۴۵ ایالت، به طور مستقیم توسط فرونشست تحت تأثیر قرار گرفته‌اند (سازمان زمین شناسی ایالات متحده و همکاران<sup>۷</sup>، ۲۰۰۵).

در ایران اولین بار فروزنشست زمین در دشت رفسنجان در سال ۱۳۴۶ همراه با پدیده لوله زایی در چاه‌های کشاورزی مشاهده شده است (سازمان زمین شناسی ایالات متحده و همکاران، ۲۰۰۵). روند نابودی منابع آبی کشور در سال‌های اخیر سبب شده است که اغلب دشت‌های کشور با یکی از پرمخاطره‌ترین پدیده‌های زیست محیطی روبرو شوند. در سال‌های اخیر پدیده فرونشست منطقه‌ای زمین در ارتباط با افت سطح آب‌های زیرزمینی در بسیاری از دیگر دشت‌های کشور از جمله در دشت‌های استان کرمان، یزد، چهارمحال و بختیاری، فارس و تهران وغیره گزارش شده است (میراثی، ۲۰۱۲)، (هو و همکاران، ۲۰۰۴). به عنوان نمونه در دشت رفسنجان به ازای هر ۱۰ متر افت سطح آب زیرزمینی، سطح زمین حدود ۴۲ سانتی متر نشست می‌نماید (عباس نژاد، ۱۳۷۷). در منطقه سیرجان به ازای هر ۱۰ متر افت سطح آب، نشست حدود ۲۷ سانتی متر گزارش گردیده است (حسینی میلانی، ۱۳۷۳). رهمنا و میراثی (۲۰۱۴) در بررسی ژئوتکنیکی فرونشست زمین به این نتیجه رسیدند که در اثر برداشت آب‌های زیرزمینی و توسعه بی‌رویه عوامل اساسی شامل افت سطح آب زیرزمینی به میزان ۲۳ متر، ضخامت زیاد آبرفت دشت متشكل از لایه‌های ضخیم رس، تغییر ضخامت لایه‌ها در دامنه کوه‌ها و هم‌راستا بودن ترک‌ها و شکاف‌های ایجادشده با راستای گسل موجود در محدوده مورد بررسی، باعث فرونشست زمین در این مناطق شده‌اند. با بررسی مطالعات صحرایی انجام شده و لحظه کردن عوامل مربوطه نشستی حدود ۳۵ سانتی‌متر بدست‌آمده است که با مشاهدات صحرایی همخوانی دارد. آتشی و همکاران (۱۳۹۶)، با استفاده از تکنیک تداخل سنجی راداری و از طریق سنجنده TerraSAR-X طی دوره شش ماهه به مطالعه شواهد و تاثیرات مورفولوژیکی مخاطره فروزنشست بر تا سی سات و ساختمان‌های مسکونی منطقه ۱۹ شهری تهران

<sup>1</sup>. Phien-wej et al

<sup>2</sup>. Larson et al

<sup>3</sup>. Gambolati et al

<sup>4</sup>. Hu et al

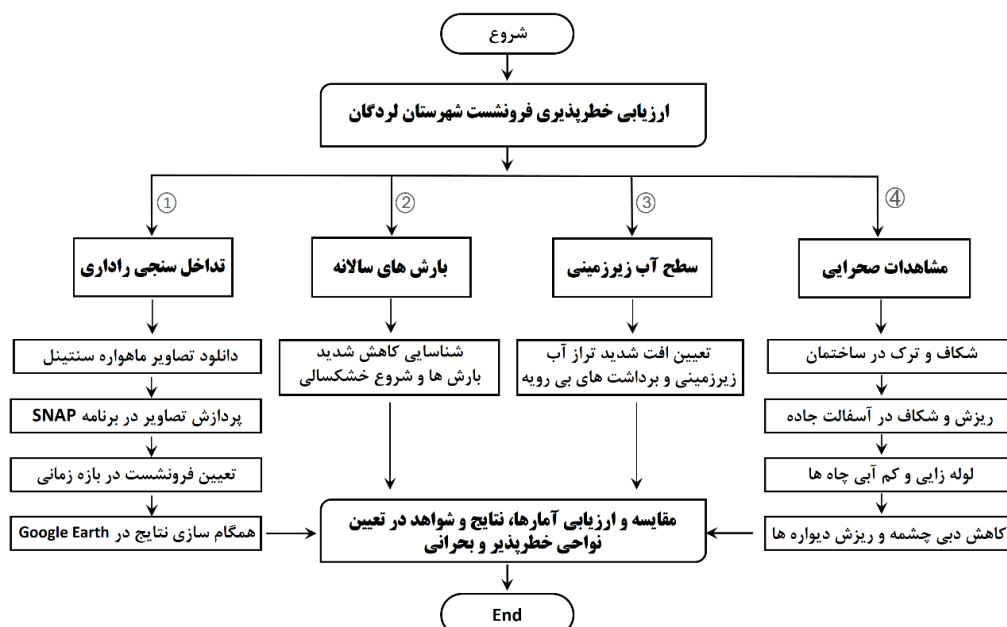
<sup>5</sup>. Araffa et al

<sup>6</sup>. Poland et al

<sup>7</sup>. USGS (United States Geological Survey)

پرداختند نتایج حاصل از آن فرونشستی به میزان ۵ سانتی متر در دوره زمانی ۶ ماهه بوده است. آنها به منظور تایید یافته ها اقدام به بازدیدهای میدانی نمودند و نتایج حاصل از این پیمایش شناسایی و ثبت عوارضی چون شکافتگی های سطحی و عمقی، تخریب چاه های آب و فرونشیئی کف و آسیب هایی به تاسیساتی چون پل، بزرگراه ها، تیر برق، تاسیسات آبی و گازی، خطوط مترو و مسکن در پهنه های فرونشست بوده است. روزبان و همکاران (۱۳۹۵)، به بررسی فرونشست زمین در دشت رفسنجان با استفاده از روش تداخل سنجی تفاضلی راداری و با به کارگیری تصاویر سنجیده سنتینل پرداختند و نرخ فرونشست در این دشت را حداقل ۲۸ سانتی متر در سال به دست آوردند. شریفی کیا (۱۳۹۱)، به بررسی تعیین میزان و دامنه فروز شست زمین به کمک روش تداخل سنجی راداری در دشت نوچهرمان به این نتیجه رسید که مقایسه میزان فرونشست با ارقام تغییرات تراز آبی مستخرج از چاه های پیزومتری نشان می دهد در این دشت هر ۳/۲ متر افت تراز آبی قادر است فرونشستی به میزان ۱ سانتی متر ایجاد کند. افقی و همکاران (۱۳۹۲)، به ارزیابی آسیب پذیری زیرساخت ها و سکونت گاهها از پدیده فرونشست زمین در دشت دامغان پرداختند و نشان دادند که فرونشست در منطقه حدود ۷ سانتی متر در سال بوده است. به منظور تشخیص و کنترل مناطق فروز شست از روش هایی همچون تداخل سنجی راداری، GPS و ترازیابی دقیق استفاده گردید که روش تداخل سنجی راداری با پوشش و سیع و قدرت تفکیک مکانی بالا در کنار GPS با قدرت تفکیک زمانی بالا و ترازیابی دقیق با دقت بالا، می تواند منبع مناسب و به روزی برای بررسی حرکات سطح زمین باشد.

نظر به اهمیت پدیده فرونشست سطح زمین در دشت های استان چهارمحال و بختیاری و بخصوص شهرستان لردگان، در این مقاله، به ارزیابی خطرپذیری شهرستان لردگان با استفاده از روش تداخل سنجی راداری با بهره گیری از تصاویر ماهواره ای SENTINEL-A1 و ارتباط آن با افت سطح آب زیرزمینی پرداخته شده است. از جمله اهداف این پژوهش تعیین میزان فرونشست به روش تداخل سنجی راداری در محدوده شهرستان لردگان می باشد، همچنین با ارزیابی داده های بارش، پیزومترهای موجود در سطح دشت و شهر لردگان میزان افت سطح آب زیرزمینی مشخص گردید و در ادامه با انجام بازدیدهای میدانی وضعیت آسیب های نمایان شده در ساختمان ها، جاده ها و بخصوص سازه های اطراف چشم برم این شهرستان مورد شناسایی قرار گرفت. در فلوچارت زیر روند انجام مقاله به منظور ارزیابی فرونشست شهرستان لردگان نمایش داده شده است (شکل ۱).



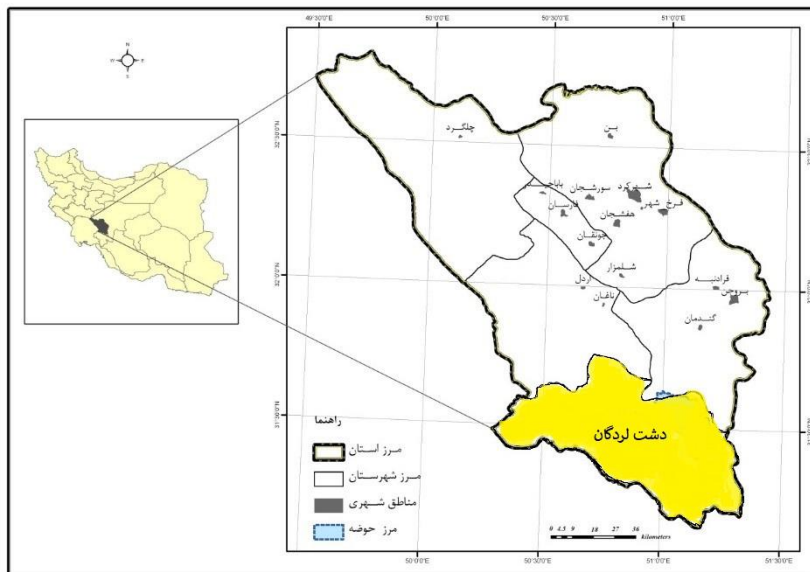
شکل ۱: فلوچارت روند ارزیابی خطرپذیری شهرستان لردگان در این مقاله

## بحث و بررسی

روش تداخل سنگی راداری اندازه‌گیری تغییرات سطح زمین را در امتداد خط دید ماهواره انجام می‌دهد. به دلیل این که عمدۀ تغییرات سطح زمین در فرونشست به صورت تغییرات ارتفاعی است، می‌توان جابه‌جایی‌های استخراج شده به روش تداخل سنگی راداری را با صرف نظر کردن از تغییرات افقی سطح زمین، با تصویر کردن آن‌ها در راستای قائم، به تغییرات ارتفاعی تبدیل کرد. هر اینترفوگرام به‌طور مجزا فقط حاوی تغییرات سطح در یک بازه زمانی است. با به کار بردن تعدادی اینترفوگرام به همراه تجزیه سری زمانی می‌توان تغییرات سطح را در زمان موربررسی قرارداد. تجزیه‌ی سری زمانی با استفاده از روش تداخل سنگی راداری، روشی مناسب برای برآورد نرخ تغییرات سطح زمین در قدرت تفکیک مکانی بالا است. با در دست داشتن دو تصویر با بازه‌ی زمانی متفاوت از تصاویر ماهواره‌ای، با روش تداخل سنگی راداری می‌توان میزان نرخ فرونشست و خطرپذیری یک منطقه را در هر نقطه و تاریخ محاسبه کرد. قابل ذکر می‌باشد که تکیک تداخل سنگی راداری از به روزترین و دقیق‌ترین ابزار برای محاسبه نرخ تغییرات سطح زمین در دنیا بوده و در سراسر دنیا در حال استفاده می‌باشد.

## منطقه مورد مطالعه

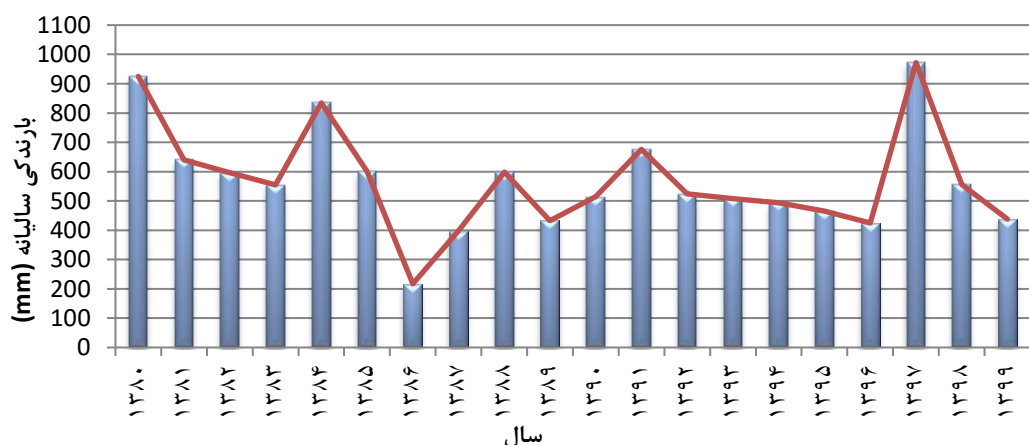
استان چهارمحال و بختیاری یکی از پربارشترین و پرآب‌ترین استان‌های کشور با بیشترین تعداد چشم‌های طبیعی و آب‌های زیرزمینی هست؛ اما وضع دشت‌های چهارمحال و بختیاری اکتون مطلوب نیست و برخی از آن‌ها ممنوعه اعلام شده‌اند. سوری و همکاران (۱۳۸۹)، بررسی هیدرو گراف معرف آبخوان و نقشه‌های هم اُفت آب زیرزمینی نشان می‌دهد که با توجه به افت سطح ایستابی و کسری مخزن، دلیل اصلی ممنوعه اعلام کردن دشت‌ها است و چنانچه دشت ممنوعه با پدیده فرونشست رو برو شود آن دشت ممنوعه و بحرانی اعلام و برداشت آب در آن با محدودیت مواجه می‌شود. شهرستان لردگان در جنوب استان چهارمحال و بختیاری واقع شده است (شکل ۲) و دو میں شهرستان ازنظر جمعیت و وسعت در استان می‌باشد. حوضه لردگان نسبت به دیگر مناطق استان پایین‌ترین حوضه نسبت به دریا و منطقه‌ای گرمسیری است و به دلیل بارش باران و کوهپایه‌ای بودن سریعاً بارش‌ها از منطقه خارج شده و این کار باعث می‌شود سطح آب‌ها زیرزمینی آن به صور کامل تأمین نشود. آبخوان دشت لردگان در جنوب استان چهارمحال و بختیاری، در زون ساختاری زاگرس چین خورده و در زیر پهنه زون سمیرم واقع شده است. از نظر زمین ساختاری در این پهنه چین‌ها با روند SE-NW تاقدیس‌ها و ناودیس‌ها منظمی را تشکیل می‌دهد. آبخوان لردگان یک آبخوان آبرفتی آزاد با مساحتی بالغ بر ۷۶/۲ کیلومترمربع با حداکثر عمق در بخش‌های جنوبی و کمترین عمق در بخش‌های مرکزی می‌باشد که درون سازنده‌ای آهکی آسماری واقع شده و از درون سازنده‌ای کنگلومرای عبور کرده و با سازنده‌ای تبخیری مجاورت دارد. آهنکوب و همکاران (۱۴۰۱)، با مطالعه کف دشت لردگان پی برندند که کف دشت لردگان شامل لایه‌های مارن و گچ مربوط به سازنده‌های گچساران و آغازاری بوده که تشکیلات تبخیری آن‌ها در تغییر کیفیت آب سفره زیرزمینی و سنگی منطقه اثر نامطلوب دارد. هموگراف آبخوان لردگان دال برافزایش میزان شوری آب به مرور زمان می‌باشد. لیتلولوژی منطقه، قابلیت انحلال کانی‌ها و سنگ‌های منطقه، وضعیت تکتونیک و خشک‌سالی سال‌های اخیر از عوامل مؤثر در کاهش کیفیت آب آبخوان دشت لردگان به شمار می‌روند.



شکل ۲: موقعیت شهرستان لردگان در استان چهارمحال و بختیاری

### ارزیابی بارش‌ها و سطح آب زیرزمینی

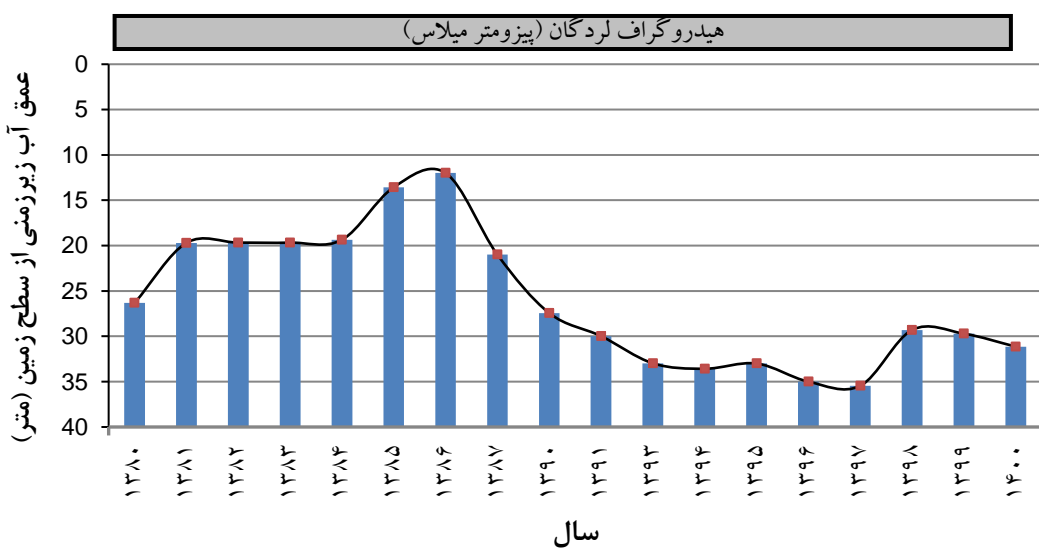
در دشت لردگان برای برسی نو سالان سطح آب زیرزمینی از ۱۰ حلقه چاه مشاهده‌ای استفاده شده است. حفر چاه مشاهده‌ای از سال ۱۳۶۷ شروع شده و اندازه‌گیری عمق آب زیرزمینی در آن‌ها ماهیانه صورت می‌گیرد. آهنکوب و همکاران (۱۴۰۱)، بر طبق این موضوع روند کلی جهات جریان از جبهه‌های جنوبی دشت به سمت مناطق مرکزی و شمال غربی دشت می‌باشد. تراز سطح ایستابی برای تعیین جهات جریان آب زیرزمینی، تشخیص منابع تغذیه و تخلیه، محاسبه شبیه‌سازی هیدرولیک، تعیین جبهه‌های ورودی و خروجی آب زیرزمینی بکار می‌رود. بررسی وضعیت افت آب‌های زیرزمینی در نقاط مختلف دشت دال بر بی‌شترین مقادیر افت در مناطق جنوبی دشت می‌باشد. مطابق نمودارهای بارش سالیانه و هیدرو گراف‌های نقاط مختلف دشت لردگان مشاهده می‌گردد که کاهش بارش‌ها و افت سطح آب زیرزمینی از سال ۸۵ و ۸۶ شروع شده‌اند. هرچند که میزان بارش‌ها کاهش ملایم‌تری داشتند (شکل ۳) و در سال ۹۷ نیز بارش‌هایی در حد سال‌های گذشته رخداده است ولیکن افت سطح آب زیرزمینی مختلف لردگان نشان می‌دهد.



شکل ۳: نمودار بارش سالانه دشت لردگان

مطابق بررسی بعمل آمده از هیدروگراف‌های موجود در شهرستان لردگان، سطح آب زیرزمینی از حدود ۱۵ متر به عمق حدود ۳۳ متر افت داشته است و این یعنی سطح آب زیرزمینی از سال ۸۷ تا ۹۰ حدود ۱۸ متر و به عبارت دیگر سالانه  $4/5$  متر سطح آب درون چاههای مشاهده ای دچار افت شده است (شکل ۴). لازم به ذکر هست این تغییرات در برخی مناطق بیشتر نیز گزارش شده است.

همانطور که پیش تر اشاره شد چشمۀ برم در مرکز شهرستان لردگان قرار گرفته است. مطابق بررسی‌های انجام شده در خصوص چشمۀ برم شهر لردگان، هیدروگراف منطقه میلاس به لحاظ فاصله نزدیک با این چشمۀ انتخاب شده است و همانطور که مشخص هست مطابق دیگر مناطق دشت لردگان سطح آب زیرزمینی حدود ۱۸ متر در سال‌های ۸۷ تا ۹۰ افت داشته است (شکل ۴) و قطعاً می‌توان اظهار داشت این میزان افت سطح آب زیرزمینی تأثیر زیادی بر چشمۀ برم لردگان داشته است. عدم مدیریت درست در قبال حجم آب‌های زیرزمینی و استفاده‌ی رویه از آن برای مصارف خانگی، اراضی کشاورزی، صنعت پرورش ماهی و همچنین ساخت‌وسازهای سنگین در زمین‌های اطراف چشمۀ (به عنوان نمونه می‌توان به مصالی بزرگ امام خمینی (ره) از عوامل تشید کننده می‌باشدند.



شکل ۴: هیدرو گراف سطح آب زیرزمینی سالانه دشت لردگان

### مشاهدات صحراوی و آسیب‌های رخداده

بازدیدهای میدانی انجام شده در شهرستان لردگان و بخصوص اطراف چشمۀ برم این شهرستان نشان دهنده وجود تعداد زیادی آسیب‌ها و ترک‌ها ناشی از فرونیشت زمین در این منطقه می‌باشد. از جمله این رخمنونها وجود خسارات زیادی در جاده‌های آسفالت در محدوده شهرستان می‌باشد، این ترک‌ها در سازه‌های محدوده شهری و نزدیک به چشمۀ برم و همچنین در زمین‌های کشاورزی پدیدار شدند و وجود این ترک‌ها در دشت و شهرستان نشان دهنده ی توسعه فرونیشت در این منطقه می‌باشد به گونه‌ای که در سال‌های اخیر این آثار فرونیشت در سطح شهرستان خسارت‌های بسیاری در پی داشته است.

از دیگر نمونه آسیب‌ها و شواهد وضعیت بحرانی و افت شدید سطح آب و فرونیشت زمین می‌توان به ریزش دیواره‌های چشمۀ برم و ایجاد شکاف‌های متعدد در دیواره‌های اطراف چشمۀ اشاره نمود این دیواره‌ها در نزدیکی مصالی امام خمینی (ره) می‌باشند و به نظر می‌رسد ساخت سازه‌های سنگین و اعمال فشار و تنش، موجب تشید تغییراتی در وضعیت تنش‌ها

و جریان‌های آبی زیرسطحی زمین در آن ناحیه شده است که باعث نشست بیشتر و فروبریزش دیواره‌ها گردیده است (شکل ۵). سازه‌های اطراف چشم‌ه بر م نیز از دیگر نمونه های آسیب پذیر در محدوده مرکز شهر می باشند، که به عنوان نمونه می توان به ساختمان "کانون پرورش فکری کودکان" اشاره نمود که با مشاهدات میدانی و نزدیکی به چشم‌ه مشخص گردید که در سالیان اخیر به دلیل کاهش دبی و رودی و خروجی چشم‌ه و پایین آمدن سطح آب، به صورت همزمان ترک و کشاف در دیواره‌های اطراف چشم‌ه بر م پذیدار شده است (شکل ۶). فرونشتست در سازه‌ه و ساختمان‌ه باعث از بین رفتن همبستگی در پی و فونداسیون شده و با ایجاد ترک در آن شرایط لازم برای تأثیر بیشتر شدت زلزله بر سازه را فراهم می کند. لازم به ذکر است تا قبل از کاهش دبی و افت سطح آب چشم‌ه، هیچ گونه شکاف و ترک و ریزشی در دیواره‌ه اطراف چشم‌ه مشاهده نشده بود.



شکل ۵: ریزش دیواره‌های اطراف چشم‌ه بر م نزدیک به سازه سنگین فلزی مصلا امام خمینی (ره) لردگان



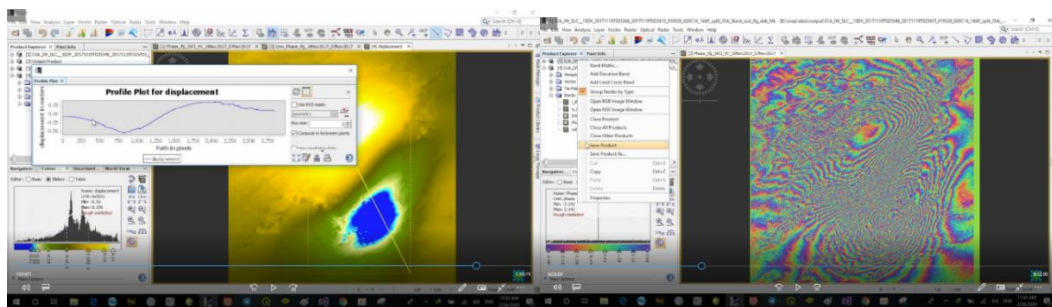
شکل ۶: ترک در سازه‌های نزدیک به چشم‌ه و در محدوده مرکز شهرستان، مرکز کانون پرورش فکری کودکان

## روش تداخل سنجی راداری

تصاویر راداری حاصل از رادارهای با روزنامه مجازی (SAR) با دارا بودن قابلیت اندازه‌گیری طول بردار از سنجنده تا سطح زمین، در اندازه‌گیری‌های مربوط به تهیه نقشه رقومی ارتفاعی به طور گسترده به کار می‌رود (گابریل و همکاران<sup>۱</sup>، ۱۹۸۹). تکنیک مورداستفاده در این روش به تکنیک تداخل سنجی راداری (InSAR) ملقب است. در تداخل سنجی راداری، فاز حاصل از دو تصویر گرفته شده از یک منطقه معین جهت تولید تداخل نگار، تداخل داده می‌شود. درواقع، تداخل نگار حاصل ضرب مختلف دو تصویر راداری است. درروش تداخل سنجی تصاویر مختلط راداری که دارای مقادیر فاز برگشتی از عارضه به سمت سنجنده هستند، با یکدیگر تلفیق شده و تصویری به نام تداخل نما تولید می‌شود. درواقع تداخل نما از اختلاف فاز دو تصویر اخذ شده در دو زمان مختلف که از نظر هندسی به طور دقیق بر روی هم منطبق شده‌اند، به دست می‌آید (رایوگولس<sup>۲</sup> و همکاران، ۲۰۰۳). با استفاده از اطلاعات اختلاف فاز موجود در تداخل نما که نشان‌دهنده اختلاف فاصله‌ی بین سنجنده و عارضه است، می‌توان متغیر شکل سطح زمین یا توپوگرافی زمین تهیه کرد. در این پژوهش از تصاویر راداری باند C ماهواره سنتینل-۱ آژانس فضایی اروپا در بازه زمانی ۲۰۱۷/۰۲/۲۹ تا ۲۰۲۳/۰۱/۲۹ در سطح یک SLC و در مد IW با توان تفکیک بالا با پولاریزاسیون VV مورداستفاده قرار گرفت. علاوه بر این در مرحله پردازش داده‌ها از زیر نوار IW1 و قطعه ۲ تا ۳ تصاویر استفاده شد.

## صحت سنجی

جهت بررسی و اطمینان از داده‌های به دست آمده و میزان دقت آن، پروسه صحت سنجی از طریق فایل‌های آموزشی سایت آکادمی سنجش از راه دور<sup>۳</sup>، انجام شده است. در فایل آموزشی محدوده مورد بررسی، منطقه سرپل ذهاب بود که از داده‌های ماهواره‌ای سنتینل ۱ استفاده شده است. این داده‌های ماهواره‌ای از دو تصویر به تاریخ ۱۱/۱۹/۲۰۱۷ تا ۱۱/۰۷/۲۰۱۷ می‌باشند. به دلیل وقوع زلزله و تحرکات زمین این محدوده و این تاریخ انتخاب شده تا میزان نشست و برآمدگی‌ها به‌وضوح نشان داده شود. طبق بررسی‌های به دست آمده در پردازش داده‌ها در منطقه سرپل ذهاب قبل و بعد زلزله دچار تغییرات ارتفاعی زیادی شده است که می‌توانید میزان آن را از شکل‌های ۷ و ۸ مشاهده فرمایید. نتایج فایل‌های آموزشی در شکل ۷ نمایش داده شده است و نتایج به دست آمده نرم‌افزاری از طریق دانلود تصاویر ماهواره و محاسبات انجام شده در این مقاله در شکل ۸ ارائه شده است. همان‌طور که مشاهده می‌شود مطابق با پروفیل مکانی نشست به دست آمده حداقل نشست را به پایین به میزان حدود ۵۰ سانتی‌متر برای هر دو تحلیل حاصل شده که همخوانی قابل قبولی با یکدیگر دارند.

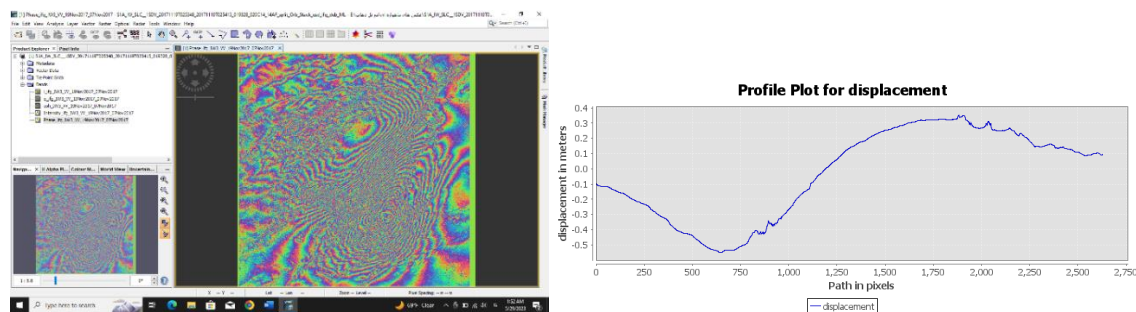


شکل ۷: نتایج نشست فایل آموزشی سایت آکادمی سنجش از راه دور

<sup>1</sup>. Gabriel et al

<sup>2</sup>. Raucoles et al

<sup>3</sup>. www.girs.ir



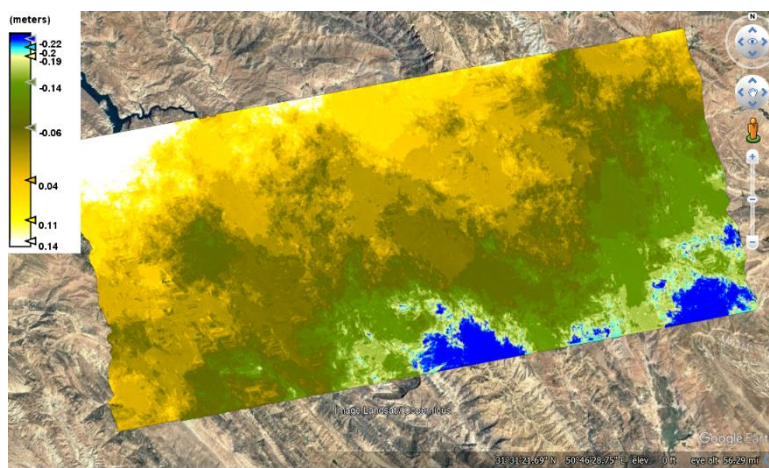
شکل ۸: خروجی نرم افزار و نتایج بدست آمده در این مقاله

### نتایج روش تداخل سنجی راداری

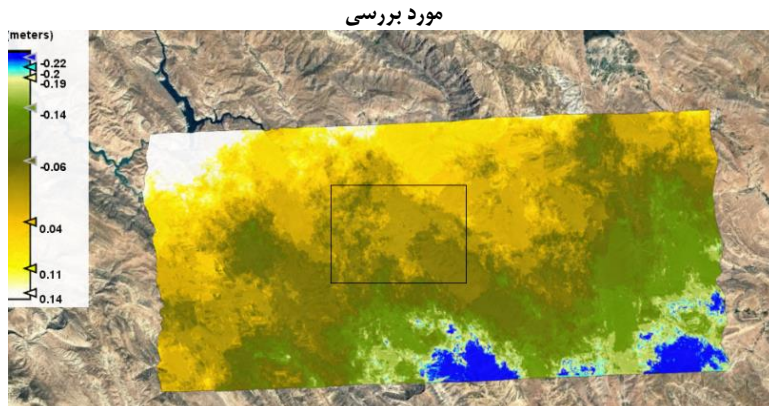
همان‌گونه که از مشاهدات میدانی و اطلاعات موجود از افت سطح آب‌های زیرزمینی شهرستان لردگان انتظار می‌رفت، پس از پردازش تصاویر راداری با استفاده از نرم‌افزار اسنپ، منطقه وسیعی از مرکز تا حاشیه‌های شهرستان دارای فرونشست بوده است. نتایج بدست آمده مطابقت نسبتاً خوبی با موقعیت چاه‌های منطقه دارند به طوری که میزان فرونشست بیشتر در مناطقی اتفاق افتاده که تراکم چاه‌های عمیق برداشت آب‌های زیرزمینی بیش از سایر مناطق مختلف است.

در شکل ۹ الف کل محدوده‌ی مورد مطالعه نشان داده شده که نشان از تنوع فرونشست و برآمدگی در این محدوده می‌باشد. در شکل ۹ ب محدوده‌ی شهرستان لردگان نمایش داده شده است که با توجه به میزان درجه‌بندی کنار تصویر نشان دهنده میزان مختلف فرونشست در کل سطح شهرستان هست. در کادر مربعی نشان داده شده در شکل ۹ ب میزان تغییرات فرونشست شهرستان لردگان در طی دوره ۶ ساله با رنگ‌های زرد (کمترین میزان فرونشست)، سبز کم رنگ (میزان نشست متوسط) و سبز پر رنگ (بیشترین میزان فرونشست)، قابل رویت می‌باشد. در اطراف منطقه‌ی مورد مطالعه رنگ‌های سفید، آبی کم رنگ و آبی پررنگ به ترتیب نشان دهنده بیشترین میزان فرونشست و رنگ سفید نشان دهنده برآمدگی در اطراف منطقه مود بررسی می‌باشد. با توجه به شکل (۹ الف و ۹ ب) که نشان دهنده‌ی تنوع فرونشست و یکسان نبودن فرونشست در منطقه میتوان گفت که بیشینه نرخ فرونشست سالیانه در کادر مستطیل شکل ترسیم شده که مربوط به شهرستان لردگان می‌باشد (شکل ۹ ب). میزان کل بیشینه فرونشست بین سال‌های ۲۰۱۷ تا ۲۰۲۳ حدود ۱۸ سانتی‌متر بوده است که این میزان فرونشست سالانه حدود ۳ سانتی‌متر می‌باشد.

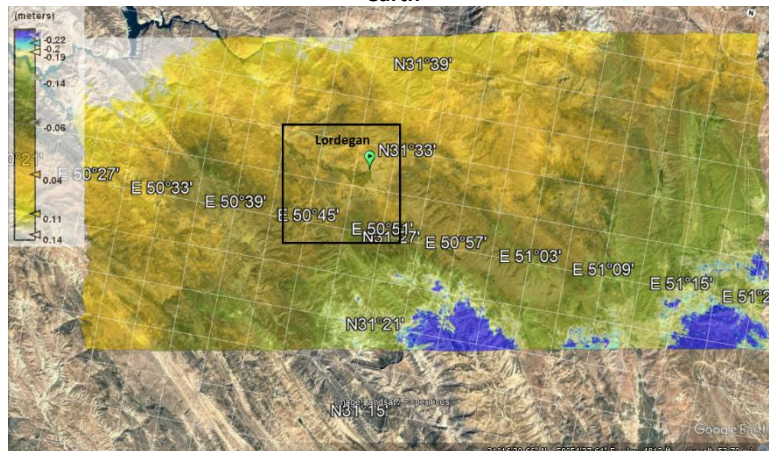
در ادامه نقشه هم پوشانی موقعیت جغرافیایی شهرستان با مشخصات طول و عرض جغرافیایی با نتایج فرونشست بدست امده از داده‌های ماهواره‌ای در گوگل ارث نمایش داده شده است (شکل ۹ ج). تغییرات در سطح زمین به دلیل افت سطح آب زیرزمینی و تحركات زمین ناشی از عوامل تحریک کننده آن، برآمدگی‌ها و فرونشست‌ها را می‌توان از شکل ۹ د که تصویر فاز یا همان تداخل نگاشت می‌باشد، مشاهده نمود که دال برادعای ما در مورد تغییرات در درون زمین در طی دوره ۶ ساله می‌باشد.



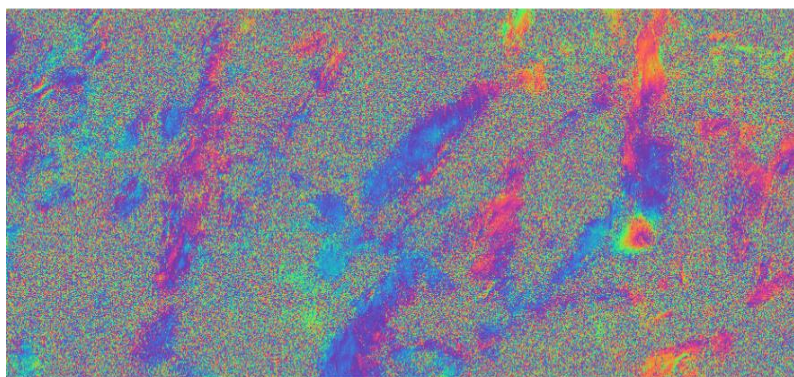
الف) اعمال خروجی نرم افزار SNAP در Google earth برای مشاهده دقیق‌تر میزان فرونشست در منطقه



ب) نشان دادن دقیق منطقه مورد مطالعه شهرستان لردگان با استفاده از کادر مشکی رنگ و همپوشانی با نتایج فرونشست تداخل سنجی راداری با استفاده از خروجی نرم افزار SNAP و اعمال در برنامه earth



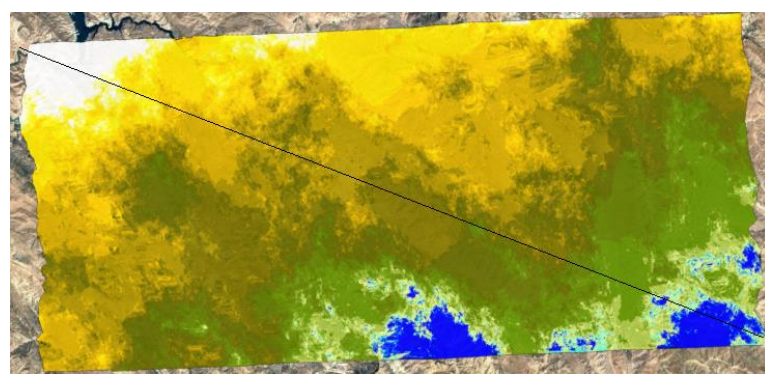
ج) موقعیت جغرافیایی شهرستان لردگان در طول و عرض جغرافیایی نمایش داده شده است



(د) تداخل نگاشت در راستای دید ماهواره که پس از همگام سازی دو تصویر ماهواره ای با بازه های زمانی متفاوت در نرم افزار SNAP، نشان دهنده میزان تغییرات فرونشست و برآمدگی سطح زمین در آن بازه زمانی شده است.

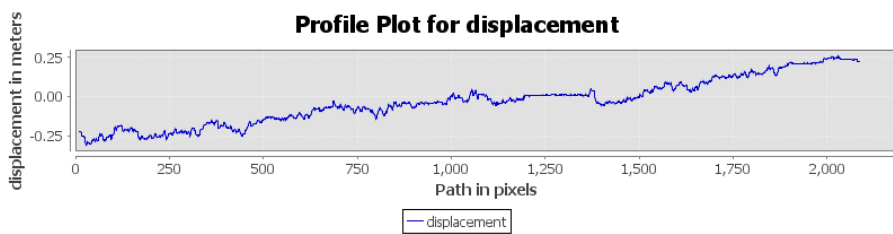
شکل ۹: (الف): کل منطقه مورد بررسی؛ (ب): موقعیت شهرستان لردگان در کادر مستطیلی و میزان فرونشست؛ (ج): موقعیت شهرستان لردگان در تصویر میزان فرونشست توسط نرم افزار Snap؛ (د): تداخل نگاشت در راستای دید ماهواره، میانگین سالهای ۲۰۱۷ تا ۲۰۲۳ در منطقه موردمطالعه

در راستای نمایش بهتر تغییرات میزان فرونشست در سطح دشت، برشی به صورت قطری بر روی نقشه ایجاد شده است که از سمت جنوب شرقی به سمت شمال غربی امتداد یافته است (شکل ۱۰ الف). مقادیر فرونشست در تمامی نقاط روی این خط قطری (خط مشکی در شکل ۱۰ الف)، در شکل ۱۰ ب ارایه شده است. می‌توان اظهار داشت که بیشترین نشست به میزان ۲۵ سانتی متر مربوط به نواحی جنوب شرقی دشت و کمترین مربوط به شمال غربی دشت که دچار برآمدگی به میزان ۲۵ سانتی متر شده می‌باشد. همچنین نظر به موقعیت شهرستان لردگان که در شکل ۹ ب با کادر مربعی نشان داده شده فرونشستی حدود ۱۴ تا ۱۸ سانتی متر را می‌توان برای این شهرستان در نظر گرفت.



الف

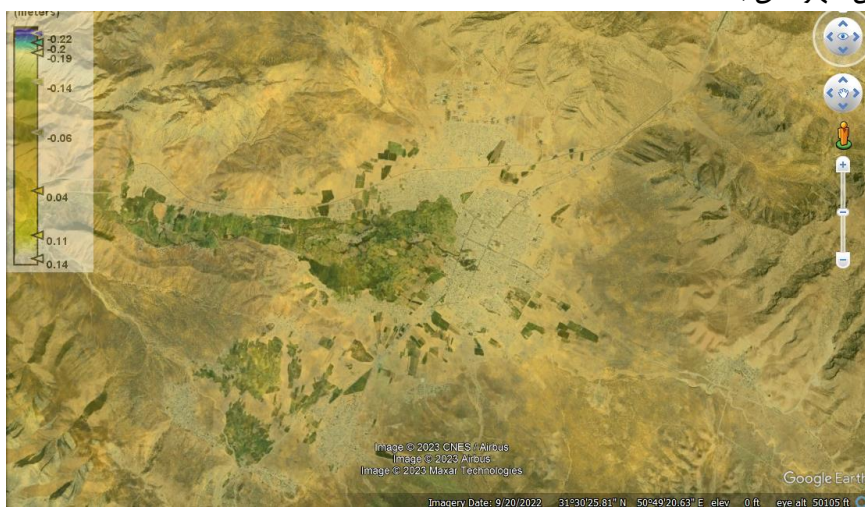
**Profile Plot for displacement**



ب

شکل ۱۰: (الف) برش قطری جهت نمایش مقادیر فرونشست بر روی این خط؛ (ب) نمودار تغییرات نشست بر روی خط قطری ترسیمی در شکل ۹ الف

از آنجایی‌که، وجود پوشش گیاهی در منطقه، به دلیل سطح زیر کشت بالا، موجب کاهش همدوسی بین زوج تصاویر راداری می‌شود، برخی از مناطق موجود در نقشه به صورت پیکسل‌های خالی دیده می‌شوند (شکل ۱۱). همچنین با توجه به کشت غالب روستاهای و مزارع کشاورزی، مناطقی که کشت گندم بیشتری دارند، نسبت به مناطق شهری و سایر نقاط شهر میزان فرونشست بالاتری نشان دادند. که این امر به دلیل نیاز بیشتر این محصول به آبیاری و درنتیجه برداشت بیشتر آب‌های زیرزمینی در این شهرستان باشد.



شکل ۱۱: تصویر هوایی شهرستان لردگان، نرخ فرونشست و پوشش‌های گیاهی آن

#### نتیجه‌گیری

در این مقاله با استفاده از تکنیک تداخل سنجی راداری به وضعیت پدیده فرونشست در شهرستان لردگان و آسیب‌های واردۀ در اطراف چشمۀ برم شهر لردگان پرداخته شده است خلاصه مهم ترین نتایج آمار بارش‌ها و هیدروگراف‌های مختلف دشت نشان دادند که از سال ۶۷ به بعد میزان بارش‌ها و سطح آب زیرزمینی به نحو قابل توجهی دچار کاهش و افت شدید شده‌اند، به عنوان نمونه سطح آب زیرزمینی از عمق حدود ۱۵ متر از سطح زمین به عمق حدود ۳۳ متر افت داشته است، البته این افت آب در برخی نقاط دیگر همچون هیدرو گراف دشت جمال به مراتب بیشتر و شدیدتر بوده است. نتایج تکنیک تداخل سنجی راداری برای تصویر کردن محدوده فرونشست، بررسی تغییرات زمانی نشان داد میزان کل بیشینه فرونشست بین سال‌های ۱۷۰۰ تا ۲۰۲۳ حدود ۱۸ سانتی‌متر بوده است که این میزان فرونشست سالانه حدود ۳ سانتی‌متر می‌باشد. در ادامه بر اساس شواهد و بررسی‌های انجام‌شده در مورد چشمۀ برم شهر لردگان مشخص گردید که حجم آب ورودی و خروجی چشمۀ به نحو چشمگیری دچار کاهش شدید شده است و خشک‌سالی و فرونشست زمین نیز تأثیرات خود را روی این چشمۀ باستانی داشته است و نکته قابل توجه اینکه احداث سازه‌های سنگین و ساخت‌وسازهای نزدیک چشمۀ نیز برافت آب و کاهش دبی این چشمۀ تأثیرگذار بوده است. همچنانکه در سال‌های اخیر آسیب‌های متعددی در سطح شهر و اطراف چشمۀ برم پدیدار شده است که به عنوان نمونه می‌توان به پدیدار شدن شکاف‌ها و ریزش‌های متعدد و سالانه در کف خیابان‌ها و مسیر قنات‌های قدیمی، شکاف‌ها و خرابی دیواره‌های سنگی اطراف چشمۀ، آسیب‌های واردۀ به ساختمان‌ها و سازه‌های اطراف اشاره نمود. مضافاً اینکه شواهد متعددی همچون لوله زایی، کم‌آبی چاه‌ها و از کشت خارج شدن بسیاری از زمین‌های کشاورزی به علت عدم وجود آب و به تناسب رشد بیکاری و نبود منبع درامد موجب مهاجرت از روستاهای شهرها و تشدید آمار بیکاری و مضلاعات گسترده در این شهرستان شده است. لذا مادامی که الگوی مصرف و برداشت آب در سطح شهرستان اصلاح نگردد، رخداد حوادث و خسارات غیرقابل جبران دور از انتظار نیست.

## منابع

- آتشی، ب.، ۱۳۹۶. مطالعه شواهد و تاثیرات مورفولوژیکی مخاطره فرونشست بر تاسیسات و ساختمانهای مسکونی(مطالعه موردی: منطقه ۱۹ شهر تهران)، پایان نامه کارشناسی ارشدگرایش هیدروژئومورفولوژی، دانشکده ادبیات و علوم انسانی، دانشگاه فردوسی مشهد.
- افضلی، ع.، شریفی کیا، م.، شایان، س.، ۱۳۹۲. ارزیابی آسیب پذیری زیرساخت ها و سکونت ها از پدیده فرونشست زمین در دشت دامغان، دوفصلنامه پژوهش‌های کاربردی ایران، سال اول شماره اول، صص ۷۳-۶۱
- آکادمی سنجش از راه دور [www.girs.ir](http://www.girs.ir)
- آهنکوب، م.، آیتی، ف.، باقری، ح.، ۱۴۰۱. مطالعه ویژگی های هیدروژئوژیمیائی آب زیرزمینی آبخوان دشت لردگان، استان چهارمحال و بختیاری، زون زاگرس چین خورده، مطالعات علوم محیط‌زیست، ۷ (۴)، صفحات ۵۵۳۰-۵۵۴۰.
- حسینی میلانی، م.، ۱۳۷۳. اضافه برداشت از منابع آب زیرزمینی و اثرات آن. مجموعه مقالات کنفرانس ملی منابع آب زیرزمینی، سیرجان، ص ۹۸-۹۱.
- روزان، ع.، ۱۳۹۵. بررسی فرونشست زمینبا استفاده از روش تداخل سنجی تفاضلی راداری و با بکارگیری تصاویر سنجنده جدید سنتیبل، پایان نامه کارشناسی ارشد مهندسی نقشه برداری \_ گرایش سنجش از دور، دانشکده مهندسی عمران و نقشه برداری گروه مهندسی نقشه برداری، دانشگاه تحصیلات تکمیلی صنعتی و فناوری پیشرفت.
- سازمان زمین‌شناسی و اکتشافات معدنی کشور منطقه جنوب (مرکز شیراز)، مهندس طهمورث یوسفی (رئیس سازمان زمین‌شناسی).
- سوری، س.، لشکری پور، غ.، احمدیان مقدم، ر.، و رمضانی، ا.، ۱۳۸۹. بررسی افت سطح آب زیرزمینی و رابطه آن با آثار نشست زمین در دشت لردگان، همايش ملی یافته‌های نوین در مهندسی عمران، نجف‌آباد.
- عباس نژاد، ا.، ۱۳۷۷. بررسی شرایط و مسائل زمین‌شناسی محیط زیست دشت رفسنجان، فشرده مقالات دومین همايش انجمان زمین‌شناسی ایران.
- میراثی، س.، رهنما، ح.، ۱۳۹۵. تحلیل و ارزیابی پارامترهای موثر بر فرونشست زمین. مهندسی عمران مدرس. ۱۶؛ ۱۳۹۵: ۴۵-۵۴.
- میراثی، س.، رهنما، ح.، ۱۴۰۰. پدیده‌ی فرونشست در شهر شیراز و نواحی اطراف آن، فصلنامه گزارش سازمان نظام مهندسی ساختمان استان فارس، سال سی ام شماره ۱۰۸ (پیاپی ۱۰۹، بهار و تابستان ۱۴۰۰)
- میراثی، س.، رهنما، ح.، ۱۴۰۲، شناسایی زیرسطحی با امواج لرزه‌ای، چاپ اول، جهاد دانشگاهی واحد استان چهارمحال و بختیاری
- Araffa, S.A.S., Atya, M.A., Mohamed, A.M., Gabala, M., Zaher, M.A., Soliman, M.M., Mesbah, H.S., Massoud, U. and Shaaban, H.M., 2014. Subsurface investigation on Quarter 27 of May 15th city, Cairo, Egypt using electrical resistivity tomography and shallow seismic refraction techniques. NRIAG Journal of Astronomy and Geophysics, 3(2), pp.170-183.*
- Bates, R.L. and Jackson, J.A., 1980. Glossary of Geology (second edition); Fall Church, Virginia. American Geological Institute, 749 p.*
- Gabriel, A.K., Goldstein, R.M. and Zebker, H.A., 1989. Mapping small elevation changes over large areas: Differential radar interferometry. Journal of Geophysical Research: Solid Earth, 94(B7), pp.9183-9191.*
- Gambolati, G., Gatto, P. and Freeze, R. A., 1974. Mathematical simulation of the subsidence of Venice, 2. Results, Water Resour. Res., 10, 563-577.*

- H. Rahnema, S. Mirassi, 2014 .Drought and water crisis in Plains of Iran: a case study of Marvdasht and Khanmirza Plains, Fars and Chaharmahal and Bakhtiari Province, Iran, International Bulletin of Water Resources and Development, 2(1) 139-154.
- Hu, B., Zhou, J., Wang, Z., Chen, Z., and Dongqi Wang, 2009. Risk assessment of land subsidence at Tianjin coastal area in China, Environmental Earth Sciences. Volume 59, Issue 2, pp269-276.
- Hu, R.L., Yue, Z.Q., Wang, L.C., & Wang, S.J., 2004. "Review on current status and challenging issues of land subsidence in China". Engineering Geology, 76:65-77.
- Larson, K.J., Basagaoglu, H., & Marino, M.A. 2001. Prediction of optimal safe ground water yield and land Subsidence in the Los Banos-Kettleman City area, California", using a calibrated numerical simulation Model. Journal of Hydrology, 242:79-102.
- M. Amighpey, Z. Mousavi, H. Nankali, S. Arabi, M. Sedighi, S. Hosseini, 2008. Studying subsidence in Iran with leveling and permanent GPS observations, in: Geophysical Research Abstracts.
- Mirassi S., 2012. M. Sc. Thesis, evaluation of land subsidence phenomenon considering effecting factor and its effect on rural building in Fars plains, Shiraz University of Technology.
- Phien-wej, N., Giao, P.H., & Nutalaya, P., 2006. Land subsidence in Bangkok, Thailand. Engineering, Geology, 82, 187-201
- Poland, J.F. 1981. "The occurrence and control of land subsidence due to groundwater withdrawal with special reference to the San Joaquin and Santa Clara Valleys, California", Ph.D Dissertation, Stanford University, Palo Alto, California.
- R. Salehi, M. Ghafoori, G.R. Lashkaripour, M. Dehghani, 2013. Evaluation of land subsidence in southern Mahyar Plain using radar interferometry, Irrigation and Water Engineering, 3(3) 47-57.
- Rahnema H. and Mirassi S., 2016. "Study of Land Subsidence Around the City of Shiraz," Scientia Iranica, Transaction A, Civil Engineering, 23(3): 882.
- Rahnema, H. and Mirassi, S., 2014. Crisis management concerning underground water falling and land subsidence occurrence in the plains of Iran. Advances in Environmental Biology, pp.1453-1466.
- Rahnema, H. and Mirassi, S., 2016. Studying Land Subsidence around the City of Shiraz. Scientia Iranica, 23(3), pp.882-895.
- Raucoules, D., Maisons, C., Carnec, C., Le Mouelic, S., King, C. and Hosford, S., 2003. Monitoring of slow ground deformation by ERS radar interferometry on the Vauvert salt mine (France): Comparison with ground-based measurement. Remote sensing of environment, 88(4), pp.468-478.
- USGS, 2000, 29 Mass Movement and Subsidence Caused by Anthropogenic Activity, Land Subsidence in the United States, Fact Sheet 08700 in Website: <http://clic.cses.vt.edu>, December 20, 2005.